

บทที่ 3

ผลการทดลองและการวิเคราะห์ผล

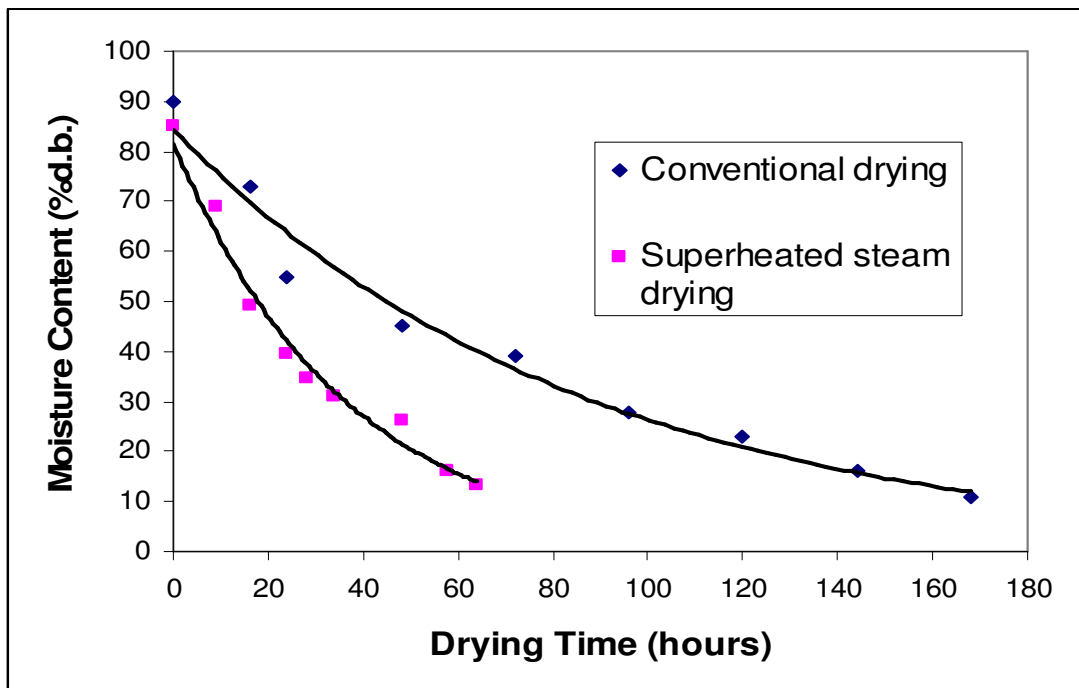
การผลการทดลองและการวิเคราะห์ผลการทดลอง มีเนื้อหาที่จะกล่าวถึงดังนี้ การเปลี่ยนแปลงความชื้นต่อเวลาอบแห้ง, ข้อมูลของอุณหภูมิ, การวิเคราะห์คุณสมบัติทางกายภาพและคุณสมบัติเชิงกล, ข้อมูลการใช้พลังงานในกระบวนการอบแห้งและความคุ้มทุนทางเศรษฐศาสตร์

3.1 การเปลี่ยนแปลงความชื้นไม่ย่างต่อเวลาอบแห้ง

3.1.1 การเปรียบเทียบระหว่างการเปลี่ยนแปลงความชื้นต่อเวลาอบแห้งของการอบแห้งแบบทั่วไปในโรงงานอุตสาหกรรมกับการอบแห้งด้วยไอน้ำยิ่งขวดกับลมร้อน

กราฟการเปลี่ยนแปลงความชื้นไม่ย่างต่อเวลาอบแห้งระหว่างการอบแห้งแบบทั่วไปในโรงงานอุตสาหกรรม (conventional drying) กับการอบแห้งด้วยไอน้ำยิ่งขวดกับลมร้อนดังภาพประกอบที่ 3-1 พบว่าการอบแห้งด้วยไอน้ำยิ่งขวดกับลมร้อนสามารถลดเวลาการอบแห้งจาก 168 ชั่วโมง เหลือเพียง 64 ชั่วโมง ที่ระดับความชื้น 15% มาตรฐานแห้ง

จากภาพประกอบที่ 3-1 ส่วนของการไฟล์ภาพการเปลี่ยนแปลงความชื้นต่อเวลาอบแห้งไม่ย่าง เมื่ออบด้วยไอน้ำยิ่งขวดและลมร้อน สามารถช่วงเวลาของกราฟแบ่งออกเป็น 3 ช่วงคือ: (1) ช่วงเริ่มแรกการให้ความร้อน (the initial heating period) จะทำให้อุณหภูมิของไม้เกิดการเพิ่มขึ้นอย่างรวดเร็วจากอุณหภูมิสภาพแวดล้อมปกติจนถึงจุดเดือดของน้ำจากกราฟซึ่งเริ่มแรกในการให้ความร้อนนี้ในกราฟไม่ชัดเจนเนื่องจากระยะเวลาไม่ยาวมาก, (2) ช่วงอัตราการอบแห้งคงที่ (the constant drying period) ช่วงนี้ใช้เวลา 16 ชั่วโมง มีอัตราการอบแห้งสูงเนื่องจากน้ำอิสระ (free water) ที่มีอยู่จะระเหยออกมากจากไม้ก่อนน้ำส่วนอื่นๆ และ (3) ช่วงอัตราการอบแห้งที่ลดลง (the falling rate period) จะเริ่มต้นที่ความชื้นไม้ประมาณ 35% มาตรฐานแห้ง พบร่วมน้ำส่วนที่เกิดพันธะเคมีในเนื้อไม้ (bound water) จะเริ่มระเหยออกมากแต่อัตราการระเหยออกจะน้อยกว่าอัตราการอบแห้งคงที่ เพราะว่าต้องใช้พลังงานสูงในการระเหยน้ำที่เกิดพันธะทางเคมี (bound water) ออกจากเนื้อไม้ ดังนั้นอัตราการอบแห้งจึงลดลง ช่วงนี้ใช้เวลา 48 ชั่วโมง



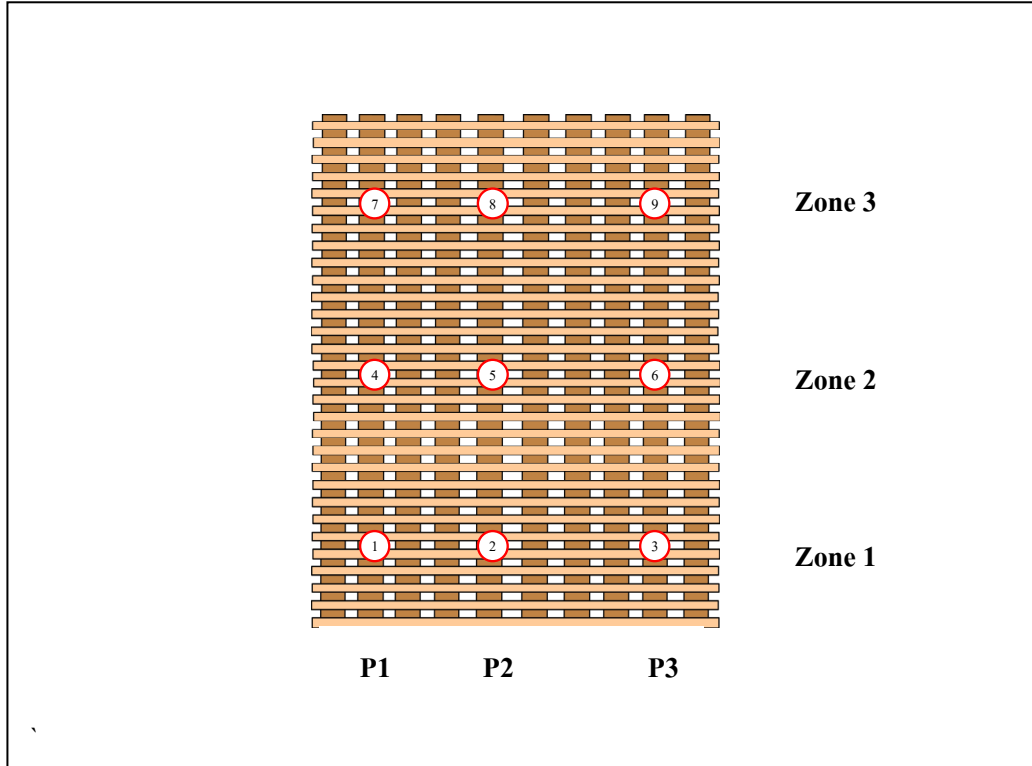
ภาพประกอบที่ 3-1 กราฟของการเปลี่ยนแปลงความชื้นต่อเวลาอบแห้งของการอบแห้งด้วยไอน้ำ
ยิ่งวดกับลมร้อนเปรียบเทียบกับการอบแบบทั่วไปในโรงงานอุตสาหกรรม

3.1.2 กราฟแสดงการเปรียบเทียบของการเปลี่ยนแปลงความชื้นต่อเวลาอบแห้งด้วยไอน้ำ ยิ่งวดกับลมร้อนของไม้ยางแต่ละชั้นในกองไม้

การอบแห้งไม้ยางด้วยไอน้ำยิ่งวดกับลมร้อนพบว่าการเปลี่ยนแปลงความชื้นต่อเวลา
อบแห้งในแต่ละชั้นของกองไม้จะไม่เท่ากันเนื่องมาจากปัจจัยที่มีอิทธิพลต่อการแห้งคือ อุณหภูมิ
และความเร็วลม โดยตัวแทนไม้ทั้งกองที่อบแห้งแบ่งเป็น 3 ระดับคือบริเวณด้านล่างกองไม้ (ชั้นที่ 5),
บริเวณตรงกลางกองไม้ (ชั้นที่ 15) และบริเวณด้านบนกองไม้ (ชั้นที่ 25)

จากภาพประกอบที่ 3-2 แสดงตำแหน่งภายในกองไม้ที่มีการวัดความเร็วลมและอุณหภูมิ
ที่อบแห้ง เพื่อทำให้ทราบแนวโน้มของการแห้งของไม้ในแต่ละส่วนว่าบริเวณไหนจะแห้งเร็วที่สุด
หรือช้าที่สุด ด้วยอิทธิพลของอุณหภูมิและความเร็วลมในกองไม้

จากภาพประกอบที่ 3-3 แสดงการเปรียบเทียบการเปลี่ยนแปลงความชื้นต่อเวลาอบแห้ง
ในกองไม้ชั้นที่ 5, 15 และ 25 พบร่วมกันว่าไม้ยางในชั้นที่ 5 ความชื้นภายในไม้ที่ลดลงต่อเวลาอบแห้งมีค่า
สูงที่สุด ส่วนไม้ชั้นที่ 25 มีการลดลงความชื้นต่อเวลาอบแห้งที่ต่ำที่สุด ซึ่งปัจจัยที่มีอิทธิพลต่อการ
เปลี่ยนแปลงความชื้นไม้ยางในขณะอบแห้งคือ อุณหภูมิและความเร็วลมที่เคลื่อนที่ผ่านในกองไม้ที่
อบแห้ง



ภาพประกอบที่ 3-2 แสดงตำแหน่งภายในกองไม้ที่มีการวัดความเร็วลมและอุณหภูมิบนแท่งหมายเหตุ: Zone 1 = ไม้ย่างชั้นที่ 5 ของกองไม้

Zone 2 = ไม้ย่างชั้นที่ 15 ของกองไม้

Zone 3 = ไม้ย่างชั้นที่ 25 ของกองไม้

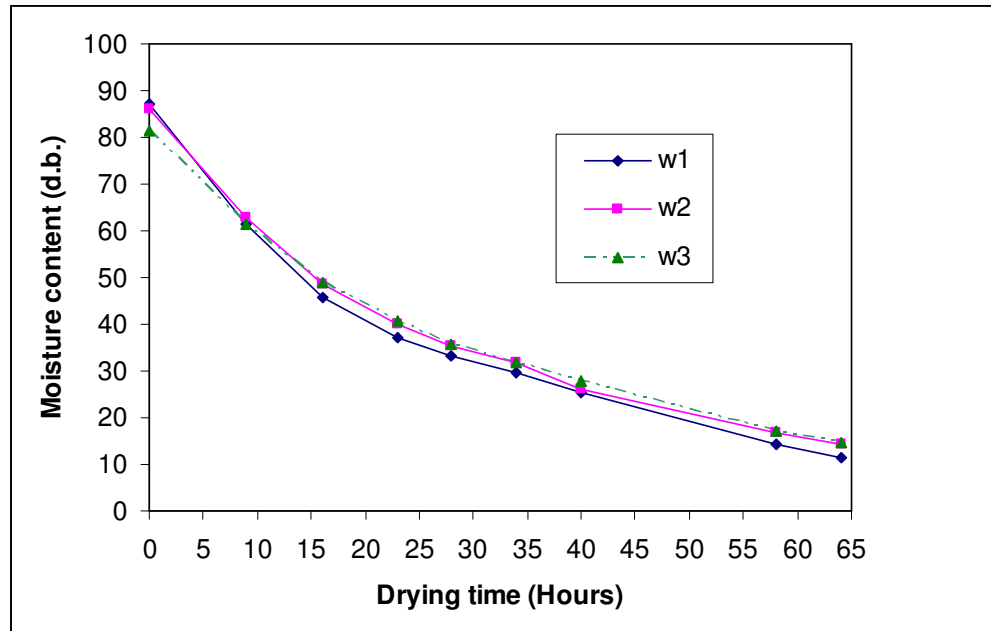
P1 = ไม้ตำแหน่งทางซ้ายของกองไม้

P2 = ไม้ตำแหน่งตรงกลางของกองไม้

P3 = ไม้ตำแหน่งทางขวาของกองไม้

จากภาพประกอบที่ 3-4 แสดงค่าความเร็วลมที่เคลื่อนที่ผ่านในกองไม้ขยะบนแท่งทำการวัดความเร็วลมบริเวณต่างๆ 3 บริเวณคือ ด้านล่างกองไม้ (ชั้นที่ 5), กลางกองไม้ (ชั้นที่ 15) และด้านบนกองไม้ (ชั้นที่ 25) พบร่วมกันความเร็วลมด้านล่างกองไม้ที่วัดได้มีค่าสูงกว่าบริเวณอื่นๆ คือมีค่า 1.4-1.45 เมตร/วินาที ส่วนความเร็วลมบริเวณกลางกองไม้วัดค่าได้ 0.93-1.16 เมตร/วินาที และบริเวณด้านบนพบว่าความเร็วลมต่ำสุดวัดค่าได้ 0.59-0.61 เมตร/วินาที อิทธิพลเนื่องจากความเร็วลมความเร็วลมที่เคลื่อนที่ผ่านกองไม้มีผลต่อการแห้งของไม้ย่าง เมื่อลมเคลื่อนที่ผ่านเร็วขึ้นสามารถระเหยน้ำที่ผิวไม้ออกไปได้เร็วมีผลให้น้ำภายในเนื้อไม้เคลื่อนตัวมากยังที่ผิวเร็วขึ้น

ความชื้นภายในไม้จึงลดลงอย่างรวดเร็วทำให้ไม้ย่างแห้งเร็วขึ้น บริเวณด้านล่างของกองไม้มีค่าความเร็วของลมที่เคลื่อนที่ผ่านสูงที่สุดทำให้ไม้ย่างบริเวณนี้แห้งเร็วที่สุด



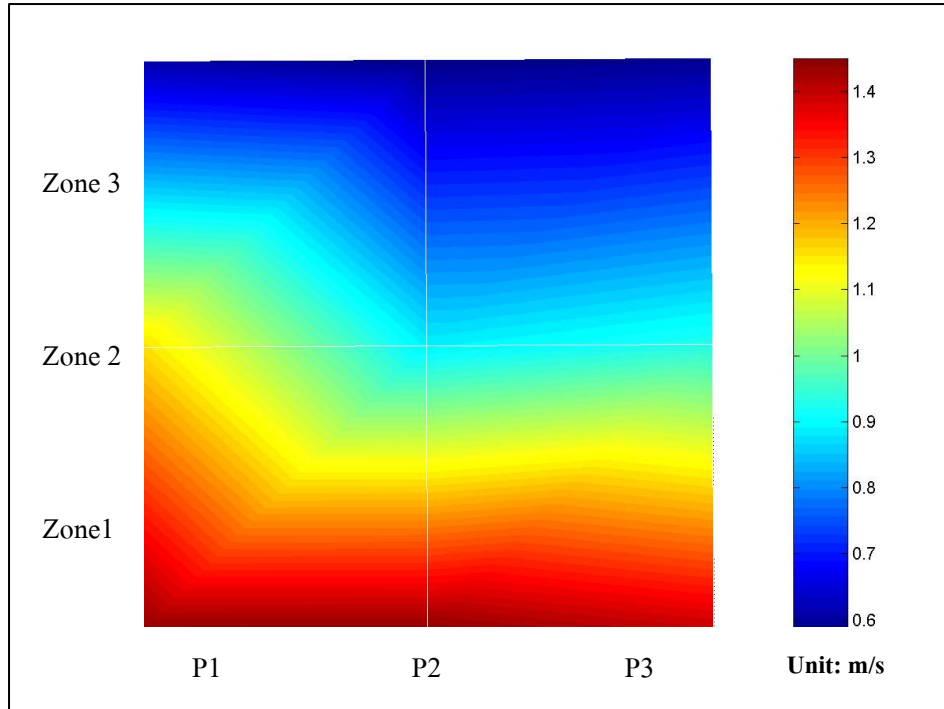
ภาพประกอบที่ 3-3 แสดงการเปรียบเทียบอัตราการอบแห้งของไม้ในแต่ละชั้นในกองไม้

หมายเหตุ: W 1 = ไม้ย่างในชั้นที่ 5

W 2 = ไม้ย่างในชั้นที่ 15

W 3 = ไม้ย่างในชั้นที่ 25

จากภาพประกอบที่ 3-5 แสดงอุณหภูมิภายในกองไม้ขณะอบแห้งด้วยไอน้ำยังคงพบว่า ไม้ชั้นล่าง (ชั้นที่ 5) วัดอุณหภูมิที่อบแห้งสูงสุดประมาณ 105-106.5 องศาเซลเซียส ส่วนบริเวณกลางกองไม้ (ชั้นที่ 15) มีอุณหภูมิ 103.5-105 องศาเซลเซียส และ ไม้ชั้นบริเวณด้านบนของกองไม้ (ชั้น 25) วัดอุณหภูมิได้ 102-104 องศาเซลเซียส อุณหภูมิของไม้ย่างแต่ละส่วนในกองไม้ไม่แตกต่างกันมากนัก อย่างระหว่าง 102-106.5 องศาเซลเซียส จึงมีผลต่อการแห้งของไม้ไม่มากนัก



ภาพประกอบที่ 3-4 แสดงความเร็วลมภายในของกองไม้ขยะอบแห้ง

หมายเหตุ: Zone 1 = ไม้ขางชั้นที่ 5 ของกองไม้

Zone 2 = ไม้ขางชั้นที่ 15 ของกองไม้

Zone 3 = ไม้ขางชั้นที่ 25 ของกองไม้

P1 = ไม้ตำแหน่งด้านซ้ายของกองไม้

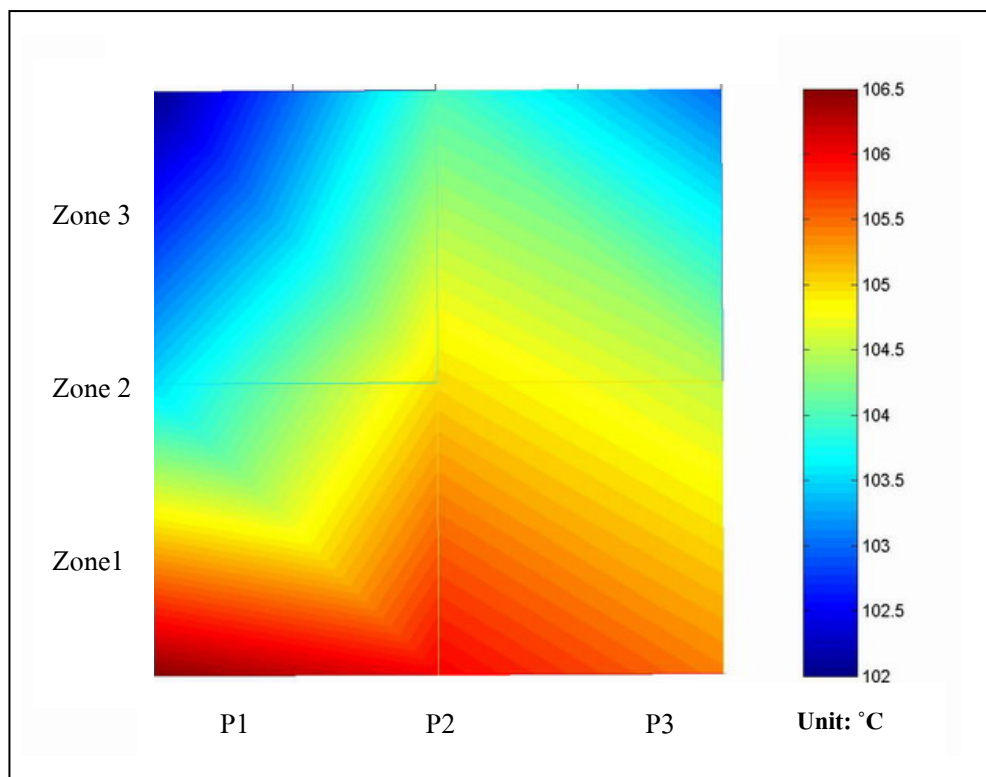
P2 = ไม้ตำแหน่งตรงกลางของกองไม้

P3 = ไม้ตำแหน่งด้านขวาของกองไม้

3.2 ข้อมูลของอุณหภูมิและความชื้นสัมพัทธ์ของบรรยากาศในกระบวนการอบแห้ง

จากภาพประกอบที่ 3-6 พบร่วมกับความชื้นสัมพัทธ์ของอากาศในกระบวนการอบแห้งจะใช้เวลาในการปรับอุณหภูมิในการอบแห้งให้ถึง 100 องศาเซลเซียส ภายในเวลา 1.5 ชั่วโมง (สภาวะการอบแห้งด้วยไอน้ำยิ่งรวด) ในขณะที่อุณหภูมิการอบแห้งที่ผิวไม้ขางและที่ตรงกลางเนื้อไม้จะมีอุณหภูมิต่ำกว่าอุณหภูมิภายในห้องอบไม้ขางเล็กน้อย เพราะว่าสารละลายที่ละลายน้ำและตัวทำละลายที่อยู่ภายในเนื้อไม้ เช่น เซลลูโลส, ลิกนิน, เถ้าและเพนโตซาน

จากภาพประกอบที่ 3-7 แสดงข้อมูลอุณหภูมิภายในห้องอบไม้ขางตลอดกระบวนการอบแห้ง พบร่วมกับการอบแห้งในช่วงแรกมีการเพิ่มชั้นของอุณหภูมิเป็น 100 องศาเซลเซียส จะใช้เวลา



ภาพประกอบที่ 3-5 แสดงอุณหภูมิภายในของกองไม้ขลุบแห้ง

หมายเหตุ: Zone 1 = ไม้ย่างชั้นที่ 5 ของกองไม้

Zone 2 = ไม้ย่างชั้นที่ 15 ของกองไม้

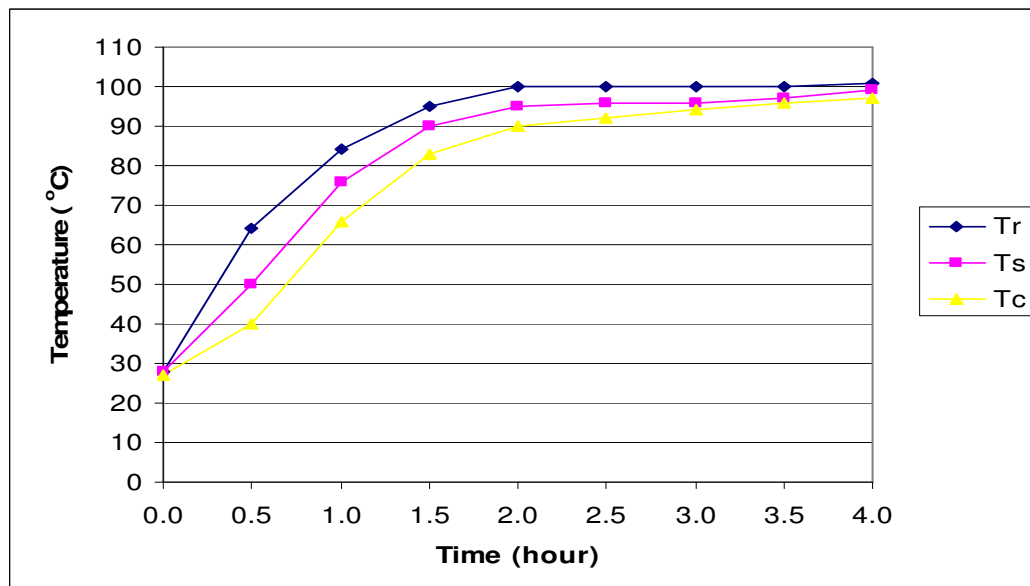
Zone 3 = ไม้ย่างชั้นที่ 25 ของกองไม้

P1 = ไม้ตัดแห่งด้านซ้ายของกองไม้

P2 = ไม้ตัดแห่งตรงกลางของกองไม้

P3 = ไม้ตัดแห่งด้านขวาของกองไม้

1.5 ชั่วโมง การอบแห้งใน 4 ชั่วโมงแรกนี้จะใช้อุณหภูมิที่ 100 องศาเซลเซียส ซึ่งอุณหภูมิไม่สูงมากนักเพื่อป้องให้อุณหภูมิในเนื้อไม้ค่อยๆเพิ่มปีองกันไม้แตกหักและโถงอ หลังจากนั้นจึงเพิ่มอุณหภูมิเป็น 105 องศาเซลเซียส เป็นเวลา 4 ชั่วโมง แล้วจึงอบแห้งสลับด้วยลมร้อน 1 ชั่วโมง เพื่อลดอุณหภูมิให้ไม้คลายตัว ทั้งหมดคือการอบ 1 ช่วงของการอบแห้ง ทำการอบแบบสลับระหว่างไอ้น้ำยิ่งวดกับลมร้อนอีก 5 ช่วง โดยในช่วงการอบสลับที่ 5 จะเริ่มมีการใช้ลมร้อนอบแห้งเท่ากับไอ้น้ำยิ่งวด (3 ชั่วโมง : 3 ชั่วโมง) เนื่องจากความชื้นในไม้มีค่าประมาณ 35 เปอร์เซ็นต์มาตรฐานแห้งหลังจากนั้นในช่วงการอบที่ 6 จะมีการใช้ลมร้อนมากขึ้นเป็น 5 ชั่วโมง ไอ้น้ำยิ่งวด 1 ชั่วโมง ส่วนการอบในในคราวที่ 7 นั้นจะใช้ลมร้อนที่ 75 องศาเซลเซียส ในกระบวนการการอบแห้งเพียงอย่างเดียว

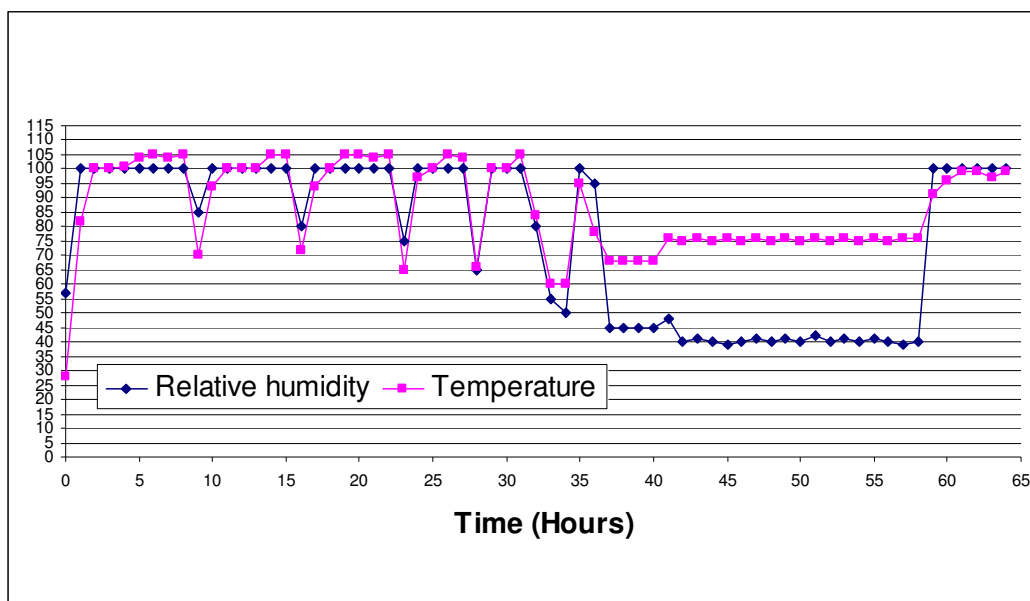


ภาพประกอบที่ 3-6 แสดงอุณหภูมิช่วงเริ่มต้นกระบวนการอบแห้งของอุณหภูมิห้องอบ, อุณหภูมิที่ผิวไม้ยางและอุณหภูมิบริเวณกลางเนื้อไม้ยาง

หมายเหตุ: Tr = อุณหภูมิของห้องอบ

Ts = อุณหภูมิที่ผิวไม้ยาง

Tc = อุณหภูมิบริเวณกลางเนื้อไม้ยาง



ภาพประกอบที่ 3-7 แสดงข้อมูลอุณหภูมิและความชื้นสัมพัทธ์บรรยายกาศตลอดกระบวนการอบแห้งไม้ยาง

เดียวเป็นเวลา 18 ชั่วโมง โดยควบคุมความชื้นสัมพัทธ์ในห้องอบไม้อよู่ที่ 40% เพื่อต้องการกำจัดน้ำในส่วนที่เกิดพันธะกับเนื้อไม้ (bound water) ให้ออกมาและในคราวที่ 8 ซึ่งเป็นคราวสุดท้ายจะมีการใช้ไอน้ำอิ่มตัวในการอบแห้งเพื่อเพิ่มความชื้นให้แก่ผ้าไม้ทำให้ความเค็นในเนื้อไม้ลดลง

3.3 คุณสมบัติทางกายภาพและคุณสมบัติเชิงกลของไม้ยาง

3.3.1 คุณสมบัติทางกายภาพ (Physical Properties)

การนำไม้ที่แปรรูปมาทำเฟอร์นิเจอร์ เครื่องตกแต่งภายใน ผนังและพื้น หากไม่มีตัวหนินแล้วบริเวณตัวหนินต้องเป็นที่ยอมรับได้ โดยตัวหนินไม้ที่เกิดขึ้นจากการอบแห้ง เช่น ตัวหนินที่ผิว, ที่ปลายไม้, บริเวณภายในและการเกิดรา มักถูกให้ความสำคัญกว่าการบิดของไม้ เนื่องจาก การบิดของไม้ได้ถูกพิจารณาเป็นตัวหนินหลักตามข้อบังคับขององค์กรไม้เนื้อแข็งนานาชาติ (National Hardwood Lumber Association, NHLA) ส่วนค่าความชื้นเมื่อยงเบนที่ยอมรับกันต้องไม่เกิน 2-3 เปอร์เซ็นต์

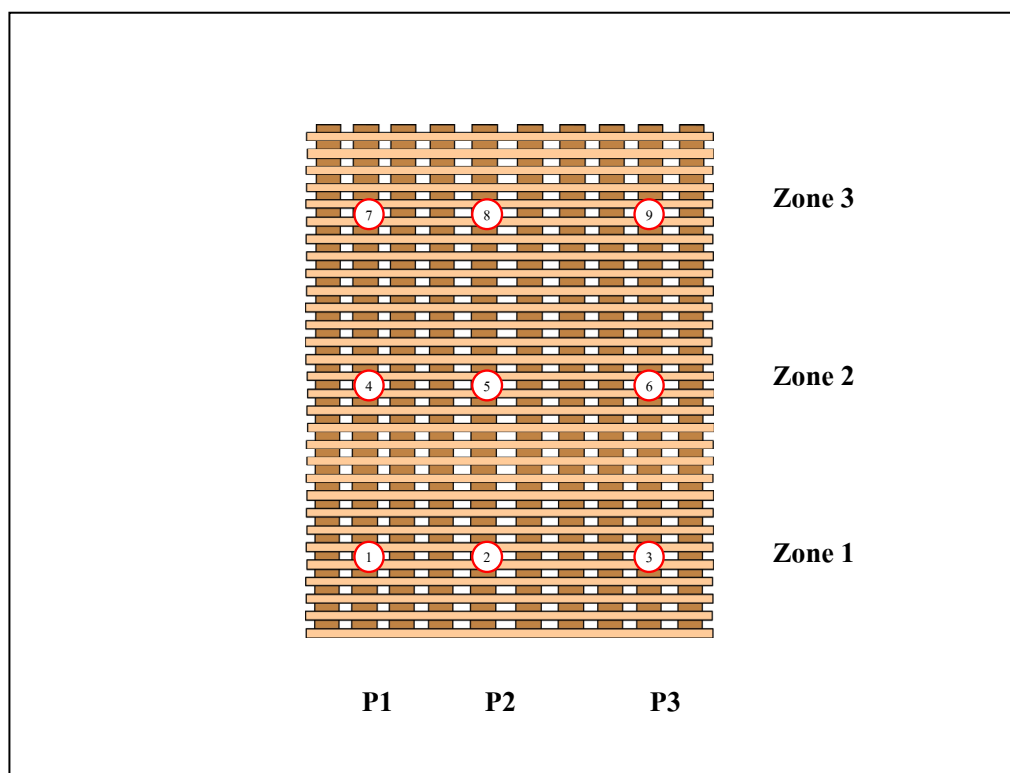
ในกระบวนการอบแห้งด้วยไอน้ำขึ้นขาดกับลมร้อน พบว่าไม้ยางทั้งกองที่อบแห้งแล้วมีตัวหนินเกิดขึ้นเกินกว่าจะยอมรับได้อยู่ประมาณ 3-4% โดยลักษณะไม้ยางหลังอบแห้งที่ดีเป็นที่ยอมรับแสดงดังภาพประกอบที่ 3-8



ภาพประกอบที่ 3-8 ลักษณะของไม้ยางที่ดีหลังอบแห้ง

ลักษณะของไม้ยางที่ดีหลังอบแห้ง ได้ดังภาพประกอบที่ 3-8 มีลักษณะตรงไม่งอและแตกหักทั้งในแนวกว้างและความหนาของไม้ยาง รวมทั้งไม้ยางไม่มีการแตกบริเวณปลายหัว 2 ด้านแต่ไม้ยางที่อบแห้งแล้วจะมีสีคล้ำเล็กน้อย

ผู้ไม่ที่มีสีคล้ำอันเนื่องมาจากการเผาที่แทรกอยู่ในเนื้อไม้เกิดการย่อยสลายโดยแบคทีเรียทำให้เกิดผลผลิตขึ้นมาที่มีผลต่อการเกิดสีคล้ำ แล้วเมื่อไม้ยางผ่านการอบแห้งด้วยความร้อนและภายในได้สภาวะที่มีออกซิเจน มีผลให้ผลผลิตเปลี่ยนเป็นสีคล้ำขึ้นมา (Simpson, et al., 1991)



ภาพประกอบที่ 3-9 การจัดวางกองไม้สำหรับอบแห้งและตำแหน่งที่สุ่มตัวอย่างไม้

จากภาพประกอบที่ 3-9 ตำแหน่งสำหรับสุ่มตัวอย่างสำหรับอบแห้งนั้นทำการสุ่มมาจากกองไม้บริเวณด้านล่าง ตรงกลาง และด้านบนกองไม้ โดยด้านล่างทำการสุ่มจากชั้นที่ 5 จำนวน 3 ท่อน ดังรูปหมายเลข 1, 2 และ 3 ส่วนบริเวณกลางไม่นั้นสุ่มจากตัวอย่างไม้หมายเลข 4, 5 และ 6 สุดท้ายคือ ด้านบนกองไม้สุ่มมาจากหมายเลข 7, 8 และ 9

หลังจากอบแห้งไม่จันได้ความชื้นไม่สุดท้ายที่ต้องการ (ไม่เกิน 15% มาตรฐานแห้ง) แล้วจึงทำการตรวจสอบค่าความดัน (stress) ที่มีในไม้โดยการทดสอบทางสายตา (visible test) และทดสอบแบบซี่ส้อม (prong test) ลักษณะของรูปร่างไม้รูปตัวยู (U-shape) จะบ่งบอกลักษณะความเด็นภายในของไม้ว่าเป็น Casehardening, Reverse casehardening หรือ No casehardening เพื่อเป็น

แนวทางในการปรับปรุงแก้ไขกระบวนการออบแห้งจนได้ไม้ที่มีคุณภาพ ลักษณะของไม้อบแห้งด้วยไอน้ำยิ่งขาดกับลมร้อนที่สภาวะเหมาะสมสำหรับแบบซีส้อม ดังภาพประกอบที่ 3-10 และ 3-11



ภาพประกอบที่ 3-10 แสดงไม้ที่อบแห้งแล้วที่ปราศจากความเค็นในเนื้อไม้



รูปประกอบที่ 3-11 แสดงไม้ที่อบแห้งแล้วที่ปราศจากความเค็นในเนื้อไม้ยัง

3.3.2 คุณสมบัติเชิงกล (Mechanical Properties)

ในการเปรียบเทียบคุณลักษณะของไม้ยางหลังอบแห้งด้วยไอน้ำอี่งขวดกับลมร้อน เปรียบเทียบกับไม้ที่ผ่านกระบวนการการอบแห้งแบบทั่วไปในโรงงานทำได้โดยการวัดค่าของ คุณสมบัติเชิงกล ซึ่งค่าคุณสมบัติเชิงกลของไม้ยางหลังอบแห้งด้วยไอน้ำอี่งขวดกับลมร้อนเป็นค่าที่ ความชื้นเฉลี่ยไม่เกิน 15% มาตรฐานแห้ง ในขณะที่ค่าคุณสมบัติเชิงกลของไม้ยางจากโรงงานนั้น เป็นค่าที่ความชื้นเฉลี่ยไม่เกิน 12% มาตรฐานแห้ง

จากการประกอบที่ 3-12, 3-13 และ 3-14 แสดงค่าเฉลี่ยของความเค้นเฉือนขนาดเส้น (shear strength parallel to grain), ความเค้นอัดขนาดเส้น (compression strength parallel to grain) และความเค้นอัดตั้งจากเส้น (compression strength perpendicular to grain) สำหรับการอบแห้ง ด้วยไอน้ำอี่งขวดกับลมร้อนพบว่ามีค่า 8.12, 39.9 และ 18.32 เมกะปascala (MPa) ตามลำดับ

ส่วนสภาพประกอบที่ 3-15, 3-16 และ 3-17 แสดงค่าเฉลี่ยของโมดูลัสแตกหัก (modulus of rupture), โมดูลัสยืดหยุ่น (modulus of elasticity) และค่าความแข็ง (hardness) สำหรับการอบแห้ง ด้วยไอน้ำอี่งขวดกับลมร้อนพบว่ามีค่า 84.2, 12,877 เมกะปascala (MPa) และ 5,692 นิวตัน(N) ตามลำดับ

จากการกระบวนการอบแห้งไม้ยางด้วยไอน้ำอี่งขวดและลมร้อน สามารถลดระยะเวลาในการอบจาก 168 ชั่วโมง เหลือเพียง 64 ชั่วโมง ซึ่งเป็นผลดีในเรื่องเศรษฐศาสตร์ในการลดต้นทุนของการอบแห้งไม้ยาง แต่พบว่าคุณสมบัติเชิงกลของไม้ที่ผ่านการอบแห้งด้วยไอน้ำอี่งขวดกับลมร้อนมีค่าแปรผันเมื่อเทียบกับการอบแบบทั่วไป (conventional drying)

ผลการทดสอบคุณสมบัติเชิงกลของไม้หลังอบแห้งพบว่าคุณสมบัติเชิงกลที่ได้เปรียบเทียบกับค่าอ่างอิง (Ref) พบว่ามีค่าสูงกว่าทุกค่ายกเว้นค่าความเค้นเฉือนขนาดเส้น (shear strength parallel to grain) ในขณะที่เปรียบเทียบกับการอบแบบทั่วไป (conventional drying) พบว่า ค่าความเค้นเฉือนขนาดเส้น (shear strength parallel to grain), ความเค้นอัดขนาดเส้น (compression strength parallel to grain) และ โมดูลัสแตกหัก (modulus of rupture) ของการอบด้วยไอน้ำร้อนยังคงและลมร้อนมีค่าน้อยกว่าการค่าของ การอบแบบทั่วไป ส่วนค่าอิก 3 ค่าได้แก่ ความเค้นอัดตั้งจากเส้น (compression strength perpendicular to grain), โมดูลัสยืดหยุ่น (modulus of elasticity) และค่าความแข็ง (hardness) มีค่ามากกว่าค่าของ การอบแบบทั่วไป

ตารางที่ 3-1 แสดงค่าเฉลี่ย (Mean), สัมประสิทธิ์ความแปรผัน (COV), ค่าต่ำสุด (Minimum) และค่าสูงสุด (Maximum) ของความชื้นไม้ยาง

Condition	Properties	Moisture Content (%)			
		Mean	COV (%)	Minimum	Maximum
1. Superheated steam drying	Shear Strength Parallel to grain	13.59	8.24	11.92	15.05
	Compressive strength				
	● Parallel to grain	13.59	8.24	11.92	15.05
	● Perpendicular to grain	13.59	8.24	11.92	15.05
	Static bending	13.59	8.24	11.92	15.05
	Hardness	13.59	8.24	11.92	15.05
2. Conventional drying (from Rattapoom parawood factory)	Shear Strength Parallel to grain	9.38	5.03	8.25	10.16
	Compressive strength				
	● Parallel to grain	9.69	1.68	9.37	10
	● Perpendicular to grain	9.38	2.32	9.06	9.85
	Static bending	9.44	2.4	8.98	9.89
	Hardness	9.15	1.67	8.85	9.49

* ตัวอย่างชิ้นไม้ยางสำหรับทดสอบคุณสมบัติเชิงกลแต่ละค่ามีจำนวน 20 ชิ้น

ตารางที่ 3-2 แสดงค่าเฉลี่ย (Mean), สัมประสิทธิ์ความแปรผัน (COV), ค่าต่ำสุด (Minimum) และ ค่าสูงสุด (Maximum) ของความโน้มถ่วงจำเพาะ

Condition	Properties	Specific gravity			
		Mean	COV (%)	Minimum	Maximum
1. Superheated steam drying	Shear Strength Parallel to grain	0.63	5.36	0.58	0.71
	Compressive strength				
	● Parallel to grain	0.63	5.36	0.58	0.71
	● Perpendicular to grain	0.63	5.36	0.58	0.71
	Static bending	0.63	5.36	0.58	0.71
	Hardness	0.63	5.36	0.58	0.71
2. Conventional Drying (from Rattapoom parawood factory)	Shear Strength Parallel to grain	0.7	3.5	0.66	0.73
	Compressive strength				
	● Parallel to grain	0.68	2.85	0.65	0.73
	● Perpendicular to grain	0.69	3.05	0.66	0.75
	Static bending	0.68	2.72	0.65	0.73
	Hardness	0.69	3.83	0.64	0.74

* ตัวอย่างชิ้นไม้สำหรับทดสอบคุณสมบัติเชิงกลแต่ละค่ามีจำนวน 20 ชิ้น

ພາຮາງທີ 3-3 ຕຽບຜົດຄຸນຕາມຕີເຮືອກຕາມອົງມື້ພາກພາກທີ່ຜ່ານກາຮອນແຫ່ງຕ່ວຍ ໂອນ້າຍື່ງຍາດກັບມີຄວາມຮ່ອນມາຮູບພາບຢາກກົກການຂອບໃຈແລ້ວແນະບວກິຫຼຸກ
ແຮະກໍາອ້າງອົງ

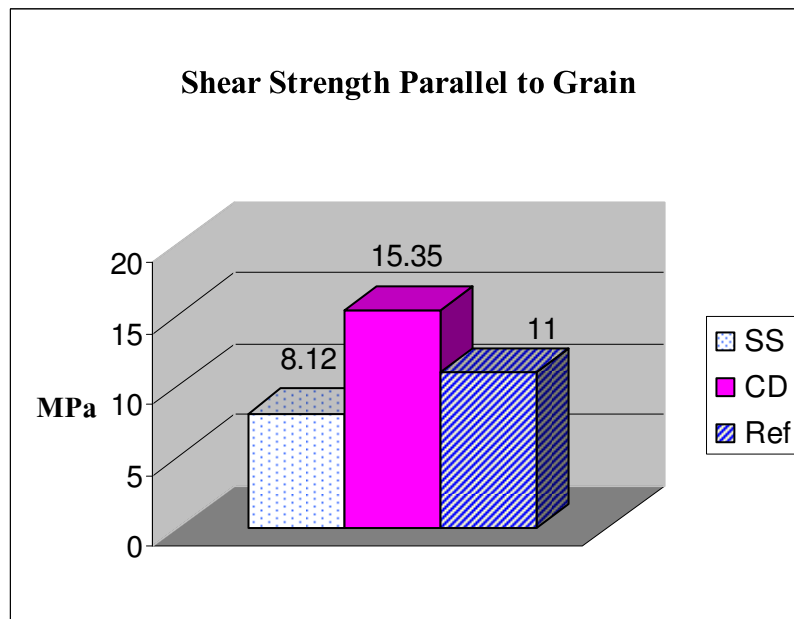
Properties	Superheated steam Drying	Conventional Drying*	p-value	Reference**
1. Shear Strength Parallel to grain (MPa)	16.22 (\pm 3.16)	15.35 (\pm 1.23)	0.321	11.00
2. Compressive strength				
2.1 Parallel to grain (MPa)	39.93 (\pm 6.47)	52.66 (\pm 4.21)	0.000	32.00
2.2 Perpendicular to grain (MPa)	18.32 (\pm 2.79)	2.06 (\pm 0.18)	0.000	5.00
3. Static bending				
3.1 Modulus of rupture (MPa)	84.20 (\pm 12.57)	107.06 (\pm 11.42)	0.000	66.00
3.2 Modulus of elasticity (MPa)	12677.90 (\pm 4319.49)	9721.41 (\pm 1605.56)	0.005	9240.00
4. Hardness (N)	5692.09 (\pm 1170.10)	4890.09 (\pm 481.81)	0.003	4350.00

ທີ່ມາ: * ໂຮງງານເຮົດມືພາກຊົງ

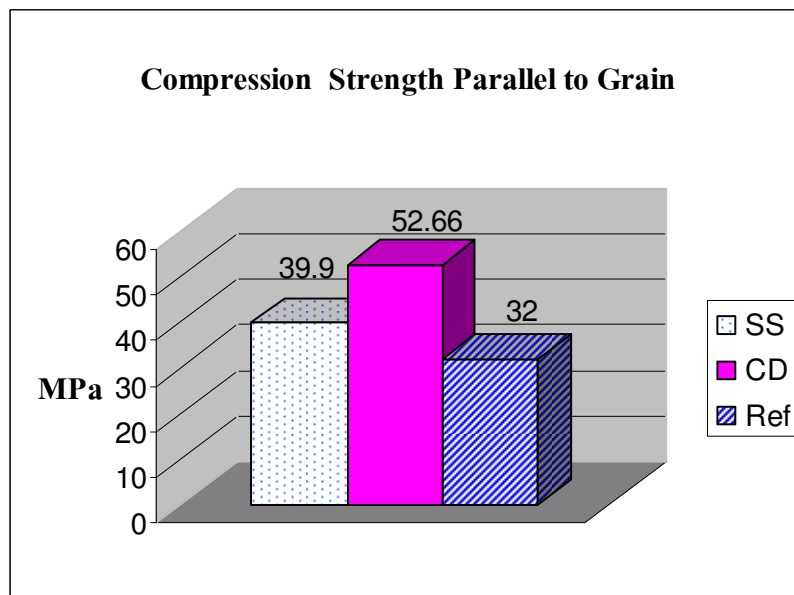
** Killmann, W. and Hong, L.T. (2002)
() ສ່ວນປະສົງມາພວກງານ

ตารางที่ 3-4 แบบแผนการดำเนินการอบแห้งที่สกาวะเหมาสม (Optimized Drying Schedule)

ช่วงที่	รายละเอียดการปฏิบัติการอบแห้ง
1 (ชั่วโมงที่ 0-9)	อบแห้งด้วยไอน้ำอิ่มตัวที่ 100 องศาเซลเซียส เป็นเวลา 4 ชั่วโมง แล้วตามด้วยไอน้ำอิ่ง bard ที่ 105 องศาเซลเซียส เป็นเวลา 4 ชั่วโมง สุดท้ายอบแห้งด้วยลมร้อนที่ 70 องศาเซลเซียส ความชื้นสัมพัทธ์ 85% เป็นเวลา 1 ชั่วโมง
2 (ชั่วโมงที่ 10-16)	อบแห้งด้วยไอน้ำอิ่มตัวที่ 100 องศาเซลเซียส เป็นเวลา 4 ชั่วโมง แล้วตามด้วยไอน้ำอิ่ง bard ที่ 105 องศาเซลเซียส เป็นเวลา 2 ชั่วโมง สุดท้ายอบแห้งด้วยลมร้อนที่ 70 องศาเซลเซียส ความชื้นสัมพัทธ์ 80% เป็นเวลา 1 ชั่วโมง
3 (ชั่วโมงที่ 17-23)	อบแห้งด้วยไอน้ำอิ่มตัวที่ 100 องศาเซลเซียส เป็นเวลา 2 ชั่วโมง แล้วตามด้วยไอน้ำอิ่ง bard ที่ 105 องศาเซลเซียส เป็นเวลา 4 ชั่วโมง สุดท้ายอบแห้งด้วยลมร้อนที่ 65 องศาเซลเซียส ความชื้นสัมพัทธ์ 70% เป็นเวลา 1 ชั่วโมง
4 (ชั่วโมงที่ 24-28)	อบแห้งด้วยไอน้ำอิ่มตัวที่ 105 องศาเซลเซียส เป็นเวลา 4 ชั่วโมง แล้วตามด้วยการอบแห้งด้วยลมร้อนที่ 65 องศาเซลเซียส ความชื้นสัมพัทธ์ 65% เป็นเวลา 1 ชั่วโมง
5 (ชั่วโมงที่ 29-34)	อบแห้งด้วยไอน้ำอิ่มตัวที่ 100 องศาเซลเซียส เป็นเวลา 3 ชั่วโมง แล้วตามด้วยการอบแห้งด้วยลมร้อนที่ 60 องศาเซลเซียส ความชื้นสัมพัทธ์ 85% เป็นเวลา 1 ชั่วโมง
6 (ชั่วโมงที่ 35-40)	อบแห้งด้วยไอน้ำอิ่มตัวที่ 100 องศาเซลเซียส เป็นเวลา 1 ชั่วโมง แล้วตามด้วยการอบแห้งด้วยลมร้อนที่ 60 องศาเซลเซียส ความชื้นสัมพัทธ์ 45% เป็นเวลา 5 ชั่วโมง
7 (ชั่วโมงที่ 41-58)	อบแห้งด้วยลมร้อนที่ 75 องศาเซลเซียส ความชื้นสัมพัทธ์ 40% เป็นเวลา 18 ชั่วโมง
8 (ชั่วโมงที่ 59-64)	สุดท้ายอบแห้งด้วยไอน้ำอิ่มตัวที่ 100 องศาเซลเซียส เป็นเวลา 6 ชั่วโมง



ภาพประกอบที่ 3-12 กราฟแสดงค่าความเค้นเฉือนบนแนวเลี้ยง

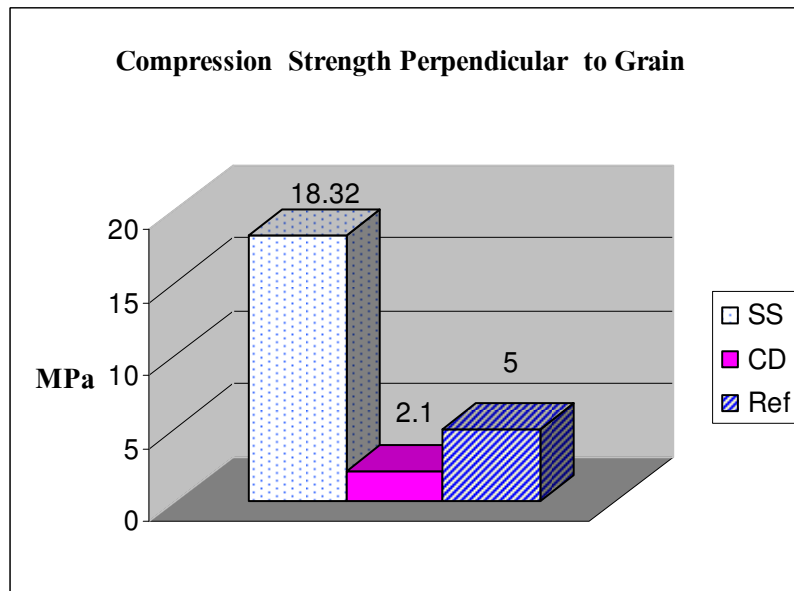


ภาพประกอบที่ 3-13 กราฟแสดงค่าความเค้นอัดบนแนวเลี้ยง

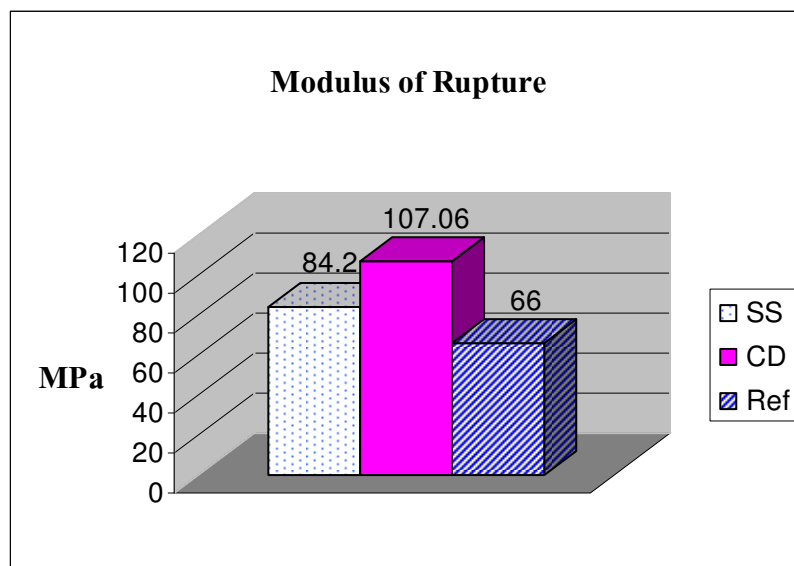
หมายเหตุ: SS = Superheated Steam Drying

CD = Conventional drying (Rattapoom Parawood factory)

Ref = Killmann, W. and Hong, L. T.



ภาพประกอบที่ 3-14 กราฟแสดงค่าความคื้นอัดตั้งจากเสียง

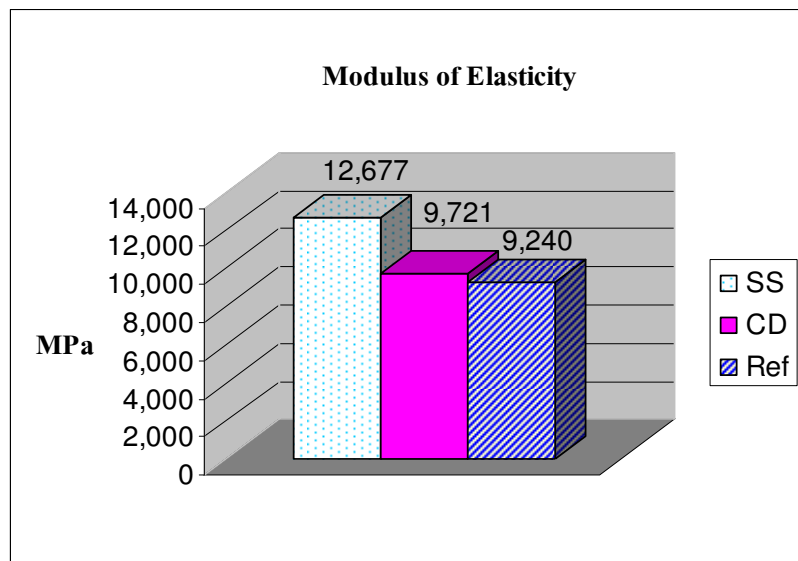


ภาพประกอบที่ 3-15 กราฟแสดงค่าโมดูลัสแตกหัก

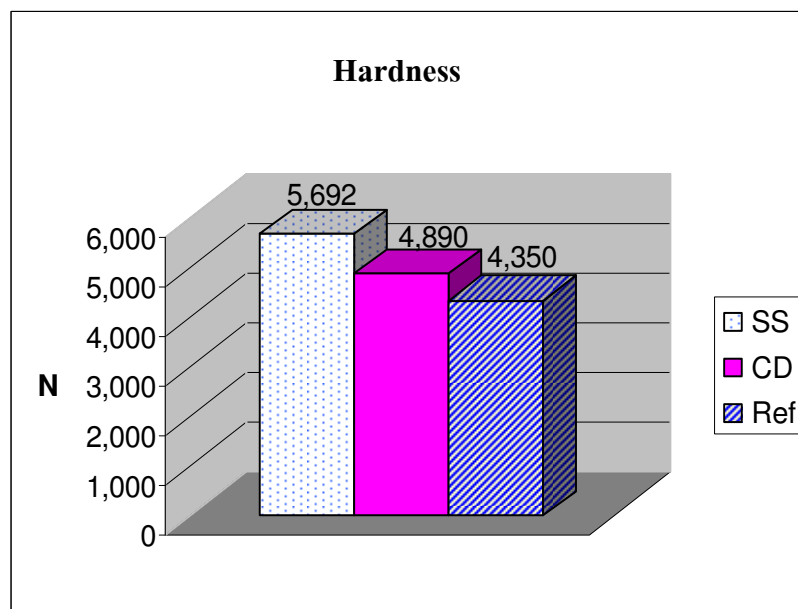
หมายเหตุ: SS = Superheated Steam Drying

CD = Conventional drying (Rattapoom Parawood factory)

Ref = Killmann, W. and Hong, L. T.



ภาพประกอบที่ 3-16 กราฟแสดงค่าโมดูลัสยืดหยุ่น



ภาพประกอบที่ 3-17 กราฟแสดงค่าความแข็ง

หมายเหตุ: SS = Superheated Steam Drying

CD = Conventional drying (Rattapoom Parawood factory)

Ref = Killmann, W. and Hong, L. T.

การวิเคราะห์ทางสถิติด้วยโปรแกรมสำเร็จรูปสำหรับวิเคราะห์ข้อมูลทางสถิติ (SPSS 11) เพื่อเปรียบเทียบคุณสมบัติเชิงกลกับไม้ที่อบแห้งด้วยไอน้ำယดิ่งกับการอบแบบทั่วไปของโรงงาน ที่ระดับความเชื่อมั่นทางสถิติ 95% พบว่าอยู่ในเกณฑ์ที่ยอมรับได้ทุกค่ายกเว้นค่าความเดินเนื่อง ขนานเสี้ยน (shear strength parallel to grain) ซึ่งมีความแตกต่างอย่างมีนัยสำคัญทางสถิติ

อิทธิพลของอุณหภูมิที่มีผลต่อความแข็งแรงของไม้ ความชื้นภายในเนื้อไม้เป็นปัจจัยหลักที่มีผลต่อคุณสมบัติทางกายภาพและคุณสมบัติเชิงกล ในการวิจัยตัวอย่างไม้ยางที่อบแห้งด้วยไอน้ำยังกับลมร้อนและไม้ยางที่อบแห้งแบบทั่วไปของโรงงานอุตสาหกรรมจะถูกนำมาทดสอบที่ความชื้นไม้ 13.59 และ 9% มาตรฐานแห้ง ตามลำดับ จากที่ได้มีการศึกษาวิจัยก่อนหน้านี้พบว่าคุณสมบัติเชิงกลของไม้ยางจะมีการเปลี่ยนแปลงไปตามความชื้นที่ต่ำกว่าจุดหมาย (fiber saturation point) แม้ว่าส่วนมากไม้เก็บทุกชนิดจะมีค่าทางคุณสมบัติเชิงกลที่สูงขึ้นเมื่อปริมาณความชื้นไม่ลดลง แต่คุณสมบัติเชิงกลบางค่า พบว่าเมื่อค่าชื้นถึงค่าสูงสุดแล้วหลังจากนั้นจะมีค่าลดลงเมื่อทำการอบแห้งต่อไปเรื่อยๆ

3.4 พลังงานที่ใช้ในกระบวนการการอบแห้งไม้ยาง

ในกระบวนการการอบแห้งนั้นอุณหภูมิที่เหมาะสมกับการอบแห้งอยู่ในช่วง 110-115 องศาเซลเซียส และจะลดเวลาการอบแห้งลง 3-5 เท่าของการอบแห้งแบบทั่วไป ที่อุณหภูมิต่ำกว่า 65 องศาเซลเซียส (Sriarun, 1999)

นอกจากเวลาอบแห้งที่ลดลงแล้วกระบวนการการอบแห้ง ไม้ยาง ปริมาณพลังงานที่ใช้ในกระบวนการการอบแห้งก็มีความสำคัญเช่นกัน จึงต้องมีการคำนวณพลังงานของกระบวนการการอบแห้ง โดยมีพลังงานที่ใช้ 2 แหล่ง คือพลังงานไฟฟ้าและพลังงานจากไอน้ำร้อน รายละเอียดดังแสดงในตารางที่ 3-4

พลังงานไฟฟ้าที่ใช้ในกระบวนการการอบแห้ง 67.8 กิโลวัตต์·ชั่วโมง เมื่อแปลงค่าเป็นพลังงานความร้อนเทียบเท่าจะมีค่าเท่ากับ 244.08 เมกะจูลล์ ส่วนพลังงานความร้อนจากไอน้ำร้อนมีค่า 3,590.28 เมกะจูลล์ ดังนั้นพลังงานความร้อนรวมทั้งหมดที่ใช้ในกระบวนการการอบแห้งเป็น 3,834.36 เมกะจูลล์ ต่อการระเหย 314.29 กิโลกรัม หรือ 12.2 เมกะจูลล์ ต่อการระเหยน้ำ 1 กิโลกรัม ในขณะที่ความต้องการพลังงานความร้อนในกระบวนการการอบแห้งไม้เนื้ออ่อนถึงเนื้อแข็งทั่วไปมีค่าระหว่าง 4.7-7 เมกะจูลล์ ต่อการระเหยน้ำ 1 กิโลกรัม (ฐานันดรศักดิ์ เทพญา, 2541) พบว่าพลังงานความร้อนที่ต้องการสำหรับอบแห้งไม้ยางด้วยไอน้ำยังคงกับลมร้อนมีค่าสูงกว่าปกติ ทั้งนี้ เพราะว่าในกระบวนการการอบแห้งไม้มีระบบการหมุนเวียนพลังงานความร้อนจากไอน้ำร้อนที่ใช้แล้วกลับมาใช้ใหม่เหมือนในระบบโรงงานอุตสาหกรรมอบแห้งไม้ทั่วไป

ตารางที่ 3-5 แสดงแหล่งพลังงานที่ใช้สำหรับอบแห้งไม้ยาง

แหล่งพลังงาน	ปริมาณพลังงานความร้อน ^(เมกะจูลล์)
1. พลังงานไฟฟ้า เป็นพลังงานที่ให้แก่อุปกรณ์ไฟฟ้าในการทดลอง เช่น เครื่องทำความร้อน, ปั๊มลม, อุปกรณ์ควบคุมอัตโนมัติ, เครื่องวัดความชื้นดิจิตอล, เครื่องบันทึกข้อมูล เป็นต้น	244.08
2. พลังงานความร้อน เป็นพลังงานความร้อนของไอน้ำที่ใช้สำหรับอบแห้งไม้ยาง	3,590.28

3.5 การวิเคราะห์จุดคุ้มทุนทางเศรษฐศาสตร์

การวิเคราะห์การสร้างห้องอบแห้งไม้ยางด้วยไอน้ำยังขาดกับลมร้อนในระดับอุตสาหกรรมเปรียบเทียบกับการสร้างห้องอบแห้งไม้ยางแบบทั่วไป (conventional drying) รวม 2 วิธี คือ วิธีมูลค่าปัจจุบันสุทธิ (net present value หรือ NPV) และการคำนวณหาค่าอัตราผลตอบแทนภายใน (internal rate of return หรือ IRR)

3.5.1 วิธีมูลค่าปัจจุบันสุทธิ (NPV)

จากภาคผนวก ๔ การหาจุดคุ้มทุนทางเศรษฐศาสตร์ พบว่ามูลค่าปัจจุบันสุทธิของการสร้างห้องอบแห้งไม้ยางด้วยไอน้ำยังขาดกับลมร้อนมีค่าเท่ากับ 1,270,630 บาทต่อปี ส่วนมูลค่าปัจจุบันสุทธิของการสร้างห้องอบแห้งไม้ยางแบบทั่วไปในโรงงานมีค่าเท่ากับ 454,614 บาทต่อปี

3.5.2 การคำนวณหาค่าอัตราผลตอบแทนภายใน (IRR)

จากภาคผนวก ๔ การหาจุดคุ้มทุนทางเศรษฐศาสตร์ พบว่าอัตราผลตอบแทนภายในของโครงการมีระยะเวลา 1 ปี ซึ่งอัตราผลตอบแทนภายในของการสร้างห้องอบแห้งไม้ยางด้วยไอน้ำยังขาดกับลมร้อนเท่ากับ 458.54 ส่วนอัตราผลตอบแทนภายในของการสร้างห้องอบแห้งไม้ยางแบบทั่วไปในโรงงานเท่ากับเท่ากับ 198.39

เมื่อพิจารณาจากอัตราผลตอบแทนภายใน (IRR) ที่คำนวณได้ของ การสร้างห้องอบแห้งไม้ยาง พบว่าอัตราผลตอบแทนภายในของด้วยไอน้ำยังขาดกับลมร้อนมีค่ามากกว่าโครงการสร้างห้องอบแห้งไม้ยางแบบทั่วไปในโรงงาน ดังนั้นการสร้างห้องอบแห้งไม้ยางด้วยไอน้ำยังขาดกับลมร้อนจึงมีความน่าสนใจลงทุนมากกว่า